

ФУНКЦИЯ ГРИНА ДЛЯ СОСТАВНОЙ АНИЗОТРОПНОЙ ПЛОСКОСТИ С МЕЖФАЗНОЙ ТРЕЩИНОЙ

Фильштинский Л.А.

Ֆիլշտինսկի Լ.Ա., Գրինի ֆունկցիան միջֆազային ճաքով անիզոտրոպ բաղադրյալ կիսահարթության համար:

Philshinskiy L.A. Green function for compound anisotropic plane with inter-phase crack

Բացահայտ տեսքով կառուցված է Գրինի ֆունկցիան երկու անիզոտրոպ, միմյանց անընդհատ ամրակցված, կիսահարթություններից բաղկացած անսահմանափակ միջավայրի համար: Ստացված են բաճաճների ճեղքի զազաբներում լարումների եզակիությունների գործակիցների համար:

В явном виде построена функция Грина для неограниченной среды, составленной из двух анизотропных полуплоскостей, непрерывно скрепленных между собой. Получены формулы для коэффициентов интенсивности напряжений в вершинах трещины.

Задача теории упругости для составной изотропной, а также анизотропной плоскости с дефектом на границе раздела сред рассматривались в работах [1-7]. В данной статье в явном виде построена функция Грина для составной анизотропной плоскости с межфазной трещиной.

1. Рассмотрим неограниченную среду, составленную из двух разнородных анизотропных полуплоскостей, непрерывно скрепленных между собой вдоль участков  $|x_1| \geq a$  (фиг.1). На участке  $|x_1| < a$  имеется отслойка, которую будем трактовать как межфазную трещину. Пусть в верхней полуплоскости в точке  $(x_{10}, x_{20})$  приложена сосредоточенная сила  $P = P_1 + iP_2$ . Приписывая величинам, относящимся к верхней (нижней) полуплоскости верхний (нижний) индекс "1", ("2") запишем граничные условия на оси  $x_1$  в виде

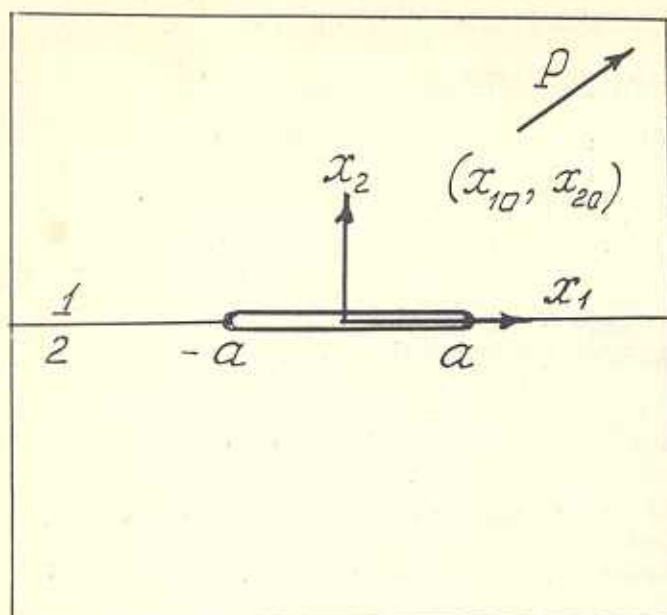
$$\sigma_{i2}^{(1)} = \sigma_{i2}^{(2)}, \quad \frac{du_i^{(1)}}{dx_1} = \frac{du_i^{(2)}}{dx_1} \quad |x_1| \geq a \quad (i=1,2) \quad (1.1)$$

$$\sigma_{i2}^{(1)+} = 0, \quad \sigma_{i2}^{(1)-} = 0 \quad |x_1| < a \quad (1.2)$$

где под  $\sigma^\pm$  понимаем предельные значения функции  $\sigma$  соответственно на верхнем или нижнем берегах трещины.

Компоненты вектора

$$U = [U_k] = [\sigma_{22}, -\sigma_{12}, u_1'(x_1), u_2'(x_1)]$$



Фиг.1

определяются равенствами

$$U_k = 2 \operatorname{Re} \sum_{\nu=1}^2 C_{k\nu} \Phi_{\nu}(z_{\nu}) \quad (k = \overline{1, 4}) \quad (1.3)$$

$$C_{1\nu} = 1, \quad C_{2\nu} = \mu_{\nu}, \quad C_{3\nu} = a_{11} \mu_{\nu}^2 - a_{16} \mu_{\nu} + a_{12}$$

$$C_{4\nu} = a_{12} \mu_{\nu} - a_{26} + \frac{a_{22}}{\mu_{\nu}}$$

$a_{jk}$  - упругие параметры материала,  $\mu_{\nu}$  - соответствующие им характеристические числа [8,9]

Таким образом, приходим к краевой задаче об определении четырех функций  $\Phi_{\nu}^{\pm}(z_{\nu}^{\pm})$ , аналитических каждая в своей плоскости  $z_{\nu}^{(\pm)} = x_1 + \mu_{\nu}^{(\pm)} x_2$ , по условиям непрерывной продолжимости компонент  $U_k$  ( $k = \overline{1, 4}$ ) через участки  $|x_1| \geq a$  и условиям  $U_1^{\pm} = U_2^{\pm} = 0$  на берегах отрезка  $[-a, a]$ .

Эту задачу естественно решать, применяя аналитическое продолжение соответствующих функций с последующим сведением ее к задачам Римана [10]. Но сперва необходимо построить фундаментальное решение для составной плоскости без отслойки.

2. Итак, рассмотрим составную среду, составленную из двух разнородных анизотропных полуплоскостей, непрерывно скрепленных между собой вдоль всей оси  $x_1$ . Пусть в точке  $(x_{10}, x_{20})$  действует сосредоточенная сила  $P = P_1 + iP_2$ . Обобщая известный метод отражения [11], будем разыскивать решение в виде

$$\Phi_{\nu}^{(1)}(z_{\nu}^{(1)}) = \frac{A_{\nu}^{(1)}}{z_{\nu}^{(1)} - z_{\nu 0}^{(1)}} - \sum_{m=1}^2 \frac{\overline{\alpha_{\nu, m}^{(1)}} \overline{A_m^{(1)}}}{z_{\nu}^{(1)} - z_{m 0}^{(1)}} \quad (\nu = 1, 2)$$



$$\Phi_v^{(2)}(z_v^{(2)}) = \sum_{m=1}^2 \frac{\alpha_{v+2,m}^{(1)} A_m^{(1)}}{z_v^{(2)} - z_{m0}^{(1)}} \quad (2.1)$$

$$z_v^{(1)} = x_1 + \mu_v^{(1)} x_2, \quad z_{m0}^{(1)} = x_{10} + \mu_m^{(1)} x_{20}$$

где постоянные  $A_m^{(1)}$  однозначно определяются системой [8], ( $h$  — толщина пластины)

$$2 \operatorname{Im} \sum_{m=1}^2 A_m^{(1)} (\mu_m^{(1)})^{k-1} = - \frac{\Delta_k}{2\pi h} \quad (k = \overline{0,3}) \quad (2.2)$$

$$\Delta_0 = \frac{a_{12}^{(1)} P_1 + a_{26}^{(1)} P_2}{a_{22}^{(1)}}, \quad \Delta_1 = P_2, \quad \Delta_2 = -P_1$$

$$\Delta_3 = - \frac{a_{16}^{(1)} P_1 + a_{12}^{(1)} P_2}{a_{11}^{(1)}}$$

Для вычисления величин  $\alpha_{vm}^{(1)}$  привлечем условия сопряжения (1.1) на всей оси. Подставляя функции в эти условия, приходим к уравнениям

$$\sum_{v=1}^2 \overline{C_{kv}^{(1)}} \alpha_{vm}^{(1)} + C_{kv}^{(2)} \alpha_{v+2,m}^{(1)} = c_{km}^{(1)} \quad (m = 1, 2; k = \overline{1,4}) \quad (2.3)$$

Этим завершается построение фундаментального решения (2.1).

Если сосредоточенная сила приложена в точке  $(x_{10}', x_{20}')$  нижней полуплоскости ( $x_{20}' < 0$ ), то фундаментальное решение определяется соотношениями

$$\Phi_v^{(1)}(z_v^{(1)}) = \sum_{m=1}^2 \frac{\alpha_{v+2,m}^{(2)} A_m^{(2)}}{z_v^{(1)} - z_{m1}^{(2)}}, \quad z_{v1}^{(2)} = x_{10}' + \mu_v^{(2)} x_{20}' \quad (2.4)$$

$$\Phi_v^{(2)}(z_v^{(2)}) = \frac{A_v^{(2)}}{z_v^{(2)} - z_{v1}^{(2)}} - \sum_{m=1}^2 \frac{\overline{\alpha_{vm}^{(2)}} \overline{A_m^{(2)}}}{z_v^{(2)} - z_{m1}^{(2)}} \quad (v = 1, 2)$$

где  $A_v^{(2)}$ ,  $\alpha_{vm}^{(2)}$  определяются соответственно из уравнений (2.2), (2.3), в которых у всех величин верхний индекс "1" необходимо заменить на "2".

3. Решение основной задачи, поставленной в п. 1, будем разыскивать в виде

$$W_v^{(r)}(z_v^{(r)}) = \Phi_v^{(r)}(z_v^{(r)}) + \Psi_v^{(r)}(z_v^{(r)}) \quad (v, r = 1, 2) \quad (3.1)$$

где функции  $\Phi_{\nu}^{(r)}(z_{\nu}^{(r)})$  определены в (2.1), (2.3), а  $\Psi_{\nu}^{(r)}(z_{\nu}^{(r)})$  учитывают возмущения, вносимые межфазной трещиной.

Используем идею аналитического продолжения  $\Psi_{\nu}^{(r)}(z_{\nu}^{(r)})$  следующим образом [12]. Функции  $\Psi_{\nu}^{(1)}(z)$  ( $\Psi_{\nu}^{(2)}(z)$ ) аналитически продолжим через участки  $|x_1| \geq a$  в нижнюю (верхнюю) полуплоскость при помощи функций  $\Psi_{\nu}^{(1)-}(z)$  ( $\Psi_{\nu}^{(2)-}(z)$ ) удовлетворяющих соотношению

$$\overline{\Psi_{\nu}^{(1)+}(x)} = \Psi_{\nu}^{(1)-}(x), \quad \overline{\Psi_{\nu}^{(2)-}(x)} = \overline{\Psi_{\nu}^{(2)+}(x)}$$

При этом учитываем определение  $\overline{\Psi(z)} = \Psi(\bar{z})$ , а под  $\Psi^{\pm}(x)$  понимаем соответствующие предельные значения функции  $\Psi(z)$ .

С учетом сказанного, получаем из (1.3)

$$U_k^+(x) = \sum_{\nu=1}^2 (c_{k\nu}^{(1)} \Psi_{\nu}^{(1)+}(x) + \overline{c_{k\nu}^{(1)}} \overline{\Psi_{\nu}^{(1)-}(x)}) \quad (3.2)$$

$$+ 2 \operatorname{Re} \sum_{\nu=1}^2 c_{k\nu}^{(1)} \Phi_{\nu}^{(1)}(x) \quad (k = 1, 2)$$

$$U_k^-(x) = \sum_{\nu=1}^2 (c_{k\nu}^{(2)} \Psi_{\nu}^{(2)-}(x) + \overline{c_{k\nu}^{(2)}} \overline{\Psi_{\nu}^{(2)+}(x)})$$

$$+ 2 \operatorname{Re} \sum_{\nu=1}^2 c_{k\nu}^{(2)} \Phi_{\nu}^{(2)}(x) \quad (k = 1, 2)$$

Введем функции

$$F_k(z) = f_k(z) = \sum_{\nu=1}^2 [c_{k\nu}^{(1)} \Psi_{\nu}^{(1)}(z) - \overline{c_{k\nu}^{(2)}} \overline{\Psi_{\nu}^{(2)}(z)}] \quad x_2 > 0$$

$$F_k(z) = f_k(z) = \sum_{\nu=1}^2 [c_{k\nu}^{(2)} \Psi_{\nu}^{(2)}(z) - \overline{c_{k\nu}^{(1)}} \overline{\Psi_{\nu}^{(1)}(z)}] \quad x_2 < 0 \quad (3.3)$$

$$k = \overline{(1, 4)}$$

В силу (1.3) и непрерывной продолжимости функции  $U_k$  ( $k = 1, 2$ ) через всю ось  $x_1$  получаем

$$f_k^+(x) - f_k^-(x) = U_k^+(x) - U_k^-(x) = 0, \quad x_1 = x \quad (3.4)$$

(k = 1, 2)

Следовательно,  $F_k(z)$  ( $k = 1, 2$ ) с элементами  $f_k(z)$  при  $\text{Im } z > 0$  и  $f_k(z)$  при  $\text{Im } z \leq 0$  аналитична в полной  $z$ -плоскости. Поэтому можно положить  $F_1(z) = F_2(z) = 0$ .

Из (3.3) следуют предельные равенства

$$C_* \Psi^+(x) = f^+(x), \quad \overline{C_*} \overline{\Psi^-(x)} = -f^-(x) \quad (3.5)$$

$$C_* = \begin{vmatrix} c_{11}^{(1)} & c_{12}^{(1)} & -\overline{c_{11}^{(2)}} & -\overline{c_{12}^{(2)}} \\ c_{21}^{(1)} & c_{22}^{(1)} & -\overline{c_{21}^{(2)}} & -\overline{c_{22}^{(2)}} \\ c_{31}^{(1)} & c_{32}^{(1)} & -\overline{c_{31}^{(2)}} & -\overline{c_{32}^{(2)}} \\ c_{41}^{(1)} & c_{42}^{(1)} & -\overline{c_{41}^{(2)}} & -\overline{c_{42}^{(2)}} \end{vmatrix}$$

$$\Psi^+(x) = \begin{vmatrix} \Psi_1^{(1)+} \\ \Psi_2^{(1)+} \\ \overline{\Psi_1^{(2)+}} \\ \overline{\Psi_2^{(2)+}} \end{vmatrix}, \quad \overline{\Psi^-(x)} = \begin{vmatrix} \overline{\Psi_1^{(1)-}} \\ \overline{\Psi_2^{(1)-}} \\ \Psi_1^{(2)-} \\ \Psi_2^{(2)-} \end{vmatrix}, \quad f^\pm(x) = \begin{vmatrix} f_1^\pm \\ f_2^\pm \\ f_3^\pm \\ f_4^\pm \end{vmatrix}$$

Складывая равенства (3.2) и учитывая при этом соотношение (3.4) (3.5), также граничные условия на берегах разреза, приходим к матричной задаче Римана

$$\sum_{j=3}^4 (b_{kj} f_j^+(x) - \overline{b_{kj}} \overline{f_j^-(x)}) = -4\text{Re} \sum_{\nu=1}^2 c_{k\nu}^{(2)} \Phi_\nu^{(2)}(x) = N_k(x)$$

$$B = \| \| b_{kj} \| \| = A C_*^{-1}, \quad A = \begin{vmatrix} c_{11}^{(1)} & c_{12}^{(1)} & \overline{c_{11}^{(2)}} & \overline{c_{12}^{(2)}} \\ c_{21}^{(1)} & c_{22}^{(1)} & \overline{c_{21}^{(2)}} & \overline{c_{22}^{(2)}} \end{vmatrix} \quad (3.6)$$

Подберем теперь векторы  $(\rho_{k1}, \rho_{k2})$  и числа  $\lambda_k$  ( $k = 1, 2$ ) таким образом, чтобы они были собственными векторами и соответствующими характеристическими числами однородных систем

$$\rho_{k1} (\overline{b_{13}} + \lambda_k b_{13}) + (-1)^{k-1} \rho_{k2} (\overline{b_{23}} + \lambda_k b_{23}) = 0 \quad (3.7)$$

$$\rho_{k1} (\overline{b_{14}} + \lambda_k b_{14}) + (-1)^{k-1} \rho_{k2} (\overline{b_{24}} + \lambda_k b_{24}) = 0, \quad (k = 1, 2)$$

В этом случае (3.6) сводится к двум скалярным задачам Римана

$$\rho_k^+(x) + \lambda_k \rho_k^-(x) = N_k^*(x) \quad -a < x < a \quad (k = 1, 2) \quad (3.8)$$

$$\rho_k(x) = \sum_{j=3}^4 d_{kj} f_j(x)$$

$$N_k^*(x) = \rho_{k1} N_1(x) + (-1)^{k-1} \rho_{k2} N_2(x)$$



$$d_{kj} = \frac{2i \operatorname{Im}(\bar{b}_{ij} b_{ij})}{\bar{b}_{2j} + \lambda_k b_{2j}} \quad (j=3, 4)$$

Фигурирующие в (3.8) характеристические числа  $\lambda_1, \lambda_2$  находятся из условий нетривиальной разрешимости систем (3.7), которые сводятся к следующему квадратному уравнению:

$$\lambda_{1,2}^2 + 2r_1 \lambda_{1,2} + r_2 = 0 \quad (3.9)$$

$$r_1 = \frac{\operatorname{Re}(\bar{b}_{13} b_{24} - \bar{b}_{23} b_{14})}{b_{13} b_{24} - b_{23} b_{14}} \quad r_2 = \frac{(\bar{b}_{13} \bar{b}_{24} - \bar{b}_{23} \bar{b}_{14})}{b_{13} b_{24} - b_{23} b_{14}}$$

Очевидно, корни уравнения (3.9) можно представить так:

$$\lambda_1 = \frac{1}{R} e^{-i\varphi}, \quad \lambda_2 = R e^{-i\varphi} \quad \varphi = \arg(b_{13} b_{24} - b_{14} b_{23}) \quad (3.10)$$

где  $R$  — вещественное число,  $0 \leq \varphi \leq 2\pi$ .

Решения задач (3.8) элементарны. Имеем [10]

$$\rho_k(z) = (D_k(z) + M_k) X_k(z) \quad (k=1, 2) \quad (3.11)$$

$$X_k(z) = (z+a)^{-\gamma_k} (z-a)^{\gamma_k-1}, \quad \gamma_1 = \frac{1}{2} - \frac{\varphi}{2\pi} + \frac{i}{2\pi} \ln R$$

$$D_k(z) = \frac{1}{2\pi i} \int_{-a}^a \frac{N_k^\dagger(x) dx}{X_k(x)(x-z)}, \quad \gamma_2 = \overline{\gamma_1}$$

Здесь  $X_k(x) = X_k^\dagger(x)$  значения канонических функций  $X_k(z)$  на верхнем берегу разреза,  $M_k$  произвольные комплексные постоянные.

Выполняя предписанные в (3.11) квадратуры, получаем с учетом (3.8) и (3.6)

$$D_k(z) X_k(z) = \frac{2}{1+\lambda_k} \sum_{m=1}^2 \left[ A_m^{(1)} \Omega_{k1}^{(m)} \frac{1 - X_k(z) X_k^{-1}(z_{m0}^{(1)})}{z - z_{m0}^{(1)}} + \overline{A_m^{(1)} \Omega_{k2}^{(m)}} \frac{1 - X_k(z) X_k^{-1}(\overline{z_{m0}^{(1)}})}{z - \overline{z_{m0}^{(1)}}} \right] \quad (3.12)$$

$$\Omega_{11}^{(m)} = \Omega_{22}^{(m)} = - \sum_{\nu=1}^2 \sum_{j=1}^2 \rho_{1j} c_{\nu}^{(2)} \alpha_{\nu+2,m} \quad (m=1, 2)$$

$$\Omega_{21}^{(m)} = \Omega_{12}^{(m)} = (-1)^j \sum_{\nu=1}^2 \sum_{j=1}^2 \rho_{2j} c_{\nu}^{(2)} \alpha_{\nu+2,m} \quad (m=1, 2)$$

$$\rho_{k1} = 1 \quad \rho_{k2} = (-1)^k \frac{\bar{b}_{13} + \lambda_k \bar{b}_{13}}{\bar{b}_{23} + \lambda_k \bar{b}_{23}} \quad (k = 1, 2)$$

Далее, из равенств (3.3) находим

$$\Psi_{\nu}^{(1)}(z) = \sum_{j=3}^4 l_{\nu j} f_j(z), \quad \text{Im } z > 0 \quad (\nu = 1, 2)$$

$$\Psi_{\nu}^{(2)}(z) = - \sum_{j=3}^4 \bar{l}_{\nu+2, j} f_j(z), \quad \text{Im } z < 0 \quad (3.13)$$

где  $l_{mj}$  ( $m, j = \overline{1, 4}$ ) -элементы матрицы  $C_*^{-1}$ .

Из (3.8), (3.11) следует, что функции  $f_3(z)$ ,  $f_4(z)$  определяются из следующей системы уравнений:

$$\sum_{j=3}^4 d_{kj} f_j(z) = (D_k(z) + M_k) X_k(z) \quad (k = 1, 2) \quad (3.14)$$

Обращая эту систему и вставляя полученные выражения функции  $f_j(z)$  в формулу (3.13), находим с учетом равенств (3.12)

$$\Psi_{\nu}^{(r)}(z_{\nu}^{(r)}) = \sum_{m=1}^2 \frac{A_m^{(1)}}{z_{\nu}^{(r)} - z_{m0}^{(1)}} \sum_{i=1}^2 [1 - X_i(z_{\nu}^{(r)}) X_i^{-1}(z_{m0}^{(1)})]$$

$$+ \frac{2 \Omega_{11}^{(m)} L_{1\nu}^{(r)}}{(1 + \lambda_i) d_0} + \sum_{m=1}^2 \frac{\overline{A_m^{(1)}}}{z_{\nu}^{(r)} - \overline{z_{m0}^{(1)}}} \sum_{i=1}^2 [1 - X_i(z_{\nu}^{(r)}) X_i^{-1}(\overline{z_{m0}^{(1)}})]$$

$$+ \frac{2 \overline{\Omega_{12}^{(m)}} L_{1\nu}^{(r)}}{(1 + \lambda_i) d_0} + \sum_{i=1}^2 \frac{M_i}{d_0} L_{1\nu}^{(r)} X_i(z_{\nu}^{(r)}) \quad (\nu, r = 1, 2) \quad (3.15)$$

$$L_{1\nu}^{(1)} = \sum_{j=3}^4 (-1)^{(1-j)} n_{1j} l_{\nu j}, \quad L_{1\nu}^{(2)} = - \sum_{j=3}^4 (-1)^{(1-j)} n_{1j} \bar{l}_{\nu+2, j}$$

$$n_{13} = \frac{d_{14} d_{24}}{d_{14}}, \quad n_{14} = \frac{d_{13} d_{23}}{d_{13}}, \quad d_0 = d_{13} d_{24} - d_{14} d_{23}$$

Остается определить константы  $M_i$ . Поскольку в условия сопряжения (1.1) входят производные от перемещений, необходимо позаботиться, чтобы вектор перемещений был непрерывно продолжим через участки  $|x_1| \geq a$ . Это условие будет выполнено, если между  $M_1$  и  $M_2$  имеет место соотношение

$$\overline{M_2} = \lambda_1 M_1 \quad (3.16)$$

Теперь привлечем условия однозначности перемещений в составной плоскости

$$\int_c d u_i = \int_{-a}^a d [u_i] = 0 \quad (i=1, 2) \quad (3.17)$$

где  $c$  - произвольный замкнутый контур, содержащий внутри отрезок  $[-a, a]$  оси  $x_1$ ,  $[u]$  - скачок функции  $u$  при переходе через разрез.

Вводя сюда выражения  $u_i'(x)$  из (1.3), учитывая соотношения (3.1), (3.15), (3.16) и выполняя необходимые квадратуры, получаем после преобразований

$$M_i = \frac{2}{1 + \lambda_i} \sum_{m=1}^2 (A_m^{(1)} \Omega_{i1}^{(m)} + \overline{A_m^{(1)}} \overline{\Omega_{i1}^{(m)}}) \quad (i=1, 2) \quad (3.18)$$

На этом построение функции Грина для составной анизотропной плоскости с межфазной трещиной заканчивается. Она полностью определяется формулами (3.1), (2.1), (3.15) и (3.18). Из аналитического представления функции Грина следует, что напряжения в вершинах межфазной трещины имеют степенные особенности, усиленные осцилляцией в малых окрестностях точек  $\pm a$ . Это явление имеет место и для составных изотропных сред [1, 13].

4. Для представления напряжения в малой окрестности вершины трещины оставим в (3.15) лишь члены, содержащие канонические функции  $X_j(z)$ . Асимптотический анализ этого выражения дает: при  $x > a$

$$\begin{aligned} \sigma_{22}^{(r)} - \sigma_{22}^{(r)} &= 4 \operatorname{Re} \sum_{m=1}^2 \sum_{n=1}^2 A_m^{(1)} \left[ \frac{(x-a)^{\gamma_n-1}}{(2a)^{\gamma_n}} \Omega_{1n}^{(m)} \right. \\ &\quad \left. * D_{kn} \left[ \left( \frac{z_{m0}^{(1)} + a}{z_{m0}^{(1)} - a} \right)^{\gamma_n} + 1 \right] \right] + O(1) \end{aligned}$$

при  $x < -a$

$$\begin{aligned} \sigma_{22}^{(r)} - \sigma_{22}^{(r)} &= -4 \operatorname{Re} \sum_{m=1}^2 \sum_{n=1}^2 A_m^{(1)} \left[ \frac{(x+a)^{-\gamma_n}}{(2a)^{1-\gamma_n}} \Omega_{1n}^{(m)} \right. \\ &\quad \left. * D_{kn} \left[ \left( \frac{z_{m0}^{(1)} - a}{z_{m0}^{(1)} + a} \right)^{-\gamma_n} + 1 \right] \right] + O(1) \end{aligned}$$

Здесь

$$D_{k1} = \frac{1}{d_0} D_{k1}^{(1)}, \quad D_{k2} = \overline{D_{k1}}, \quad D_{k1}^{(1)} = \sum_{\nu=1}^2 C_{k\nu}^{(1)} L_{1\nu}^{(1)}$$



Величина  $\sigma_{22}^{(r)}$  определяется при  $k = 1$ ,  $\sigma_{12}^{(r)}$  - при  $k = 2$ . Как и следовало ожидать, полученные выражения не зависят от  $r$ .

Коэффициенты интенсивности напряжений определим в соответствии с выписанной выше асимптотикой следующим образом:  
в вершине  $x = a$

$$K_I^+ = \lim_{x \rightarrow a, (x > a)} \left( \frac{x}{a} - 1 \right)^{\frac{1}{2} + \frac{\nu}{2\pi}} \sigma_{22}(x) = \frac{|P|}{ah} \langle k_1^+ \rangle,$$

$$K_{II}^+ = \lim_{x \rightarrow a, (x > a)} \left( \frac{x}{a} - 1 \right)^{\frac{1}{2} + \frac{\nu}{2\pi}} \sigma_{12}(x) = \frac{|P|}{ah} \langle k_2^+ \rangle$$

$$|P| = \sqrt{P_1^2 + P_2^2}$$

$$\langle k_j^+ \rangle = 4 \operatorname{Re} \sum_{m=1}^2 B_m^{(1)} \sum_{n=1}^2 \frac{\Omega_{jn}^{(m)} D_{jn}}{2^{\gamma_n}} \left[ \left( \frac{z_{m0}^{(1)} + a}{z_{m0}^{(1)} - a} \right)^{\gamma_n} + 1 \right]$$

$$B_m^{(1)} = \frac{h}{|P|} A_m^{(1)}$$

в вершине  $x = -a$

$$K_I^- = \lim_{x \rightarrow -a, (x < -a)} \left[ \left( \frac{x}{a} - 1 \right)^{\frac{1}{2} - \frac{\nu}{2\pi}} \sigma_{22}(x) \right] = \frac{|P|}{ah} \langle k_1^- \rangle$$

$$x \rightarrow -a, (x < -a)$$

$$K_{II}^- = \lim_{x \rightarrow -a, (x < -a)} \left[ \left( \frac{x}{a} + 1 \right)^{\frac{1}{2} - \frac{\nu}{2\pi}} \sigma_{12}(x) \right] = \frac{|P|}{ah} \langle k_2^- \rangle$$

$$\langle k_j^- \rangle = -4 \operatorname{Re} \sum_{m=1}^2 B_m^{(1)} \sum_{n=1}^2 \frac{\Omega_{jn}^{(m)} D_{jn}}{2^{1-\gamma_n}} \left[ 1 + \left( \frac{z_{m0}^{(1)} - a}{z_{m0}^{(1)} + a} \right)^{1-\gamma_n} \right]$$

$$(j = 1, 2)$$

При вычислении указанных пределов было принято согласно [13], что  $\operatorname{Im} \gamma_1 \ln |x \pm a| \approx 0$ . Тем самым устраняется и физическая некорректность решения, связанная с тем обстоятельством, что напряжения в окрестности вершины бесконечное число раз меняют знак.

В заключение отметим, что без всяких принципиальных затруднений полученное аналитическое решение можно распространить на случай нескольких межфазных трещин, лежащих на оси  $x_1$ , а также полубесконечной межфазной трещины.

## ЛИТЕРАТУРА

1. Черепанов Г.П. О напряженном состоянии в неоднородной пластинке с разрезами. - *Изв. АН СССР, Механика и машиностроение*, 1962, 1.
2. Райс, Си. Плоские задачи о трещинах, расположенных на границе раздела двух различных сред. - *Тр. Амер. о-ва инженеров механиков. Прикладная механика*, 1965, т.32, 2, с.186-192.
3. Прусов И.А., Лунская Л.И. Упругое состояние кусочно-однородной ортотропной плоскости с разрезами. *Прикладная механика АН УССР*, 1969, т.5, 8, с. 77-83.
4. Плахотный П.И. Взаимное давление двух различных полуплоскостей с прямолинейными щелями на линии спая. *Прикладная механика АН УССР*, 1970, т.6, 1, с.62 - 68.
5. Саркисян В.С. Контактные задачи для полуплоскостей и полос с упругими накладками. - *Ереван: Изд-во Ереванского университета*, 1983. 260 с.
6. Кривой А.Ф., Радиолло М.В. Особенности поля напряжений в составной анизотропной плоскости. - *Изв. АН СССР. МТТ* 1984, 3, с. 84-92.
7. Асанян Д.Д., Асланян А.А., Багдасарян Г.Е. О концентрациях упругих напряжений и индуцированного магнитного поля возле трещины, обусловленных внешним магнитным полем. - *Изв. АН АрмССР. Механика*, 1988, т.41, 2, с.15-258.
8. Лехицкий С.Г. Анизотропные пластинки. - *М.: Гостехиздат*, 1967. 356 с.
9. Амбарцумян С.А. Теория анизотропных пластин (прочность, устойчивость и колебания) - *М.: Наука*, 1967. 268 с.
10. Мухелишвили Н.И. Сингулярные интегральные уравнения. - *М.: Физматгиз*, 1968. 511 с.
11. Море Ф.М., Фешбах Г. Методы теоретической физики. В 2-х томах. Т.1. М. Изд-во иностр. лит., 1958. 930 с.
12. Мухелишвили Н.И. Некоторые основные задачи математической теории упругости. - *М.: Наука*, 1966. 708 с.
13. Черепанов Г.П. Механика хрупкого разрушения. - *М.: Наука*, 1974. 640 с.

Сумский сельскохозяйственный институт  
Поступила в редакцию 6.02. 1991